

## PC パイルのカットオフならびにクリープテスト

渡辺 明\*・石井 啓文\*\*  
星野 親房\*\*・早野 正義\*\*\*

## 1. 序

近年、建設工事の進展とともに、コンクリートパイルに対する需要がいちじるしく増大し、なかんずく、PCパイルは昭和37年首都高速道路公団によって高速一号線に採用されて以来、その曲げ抵抗力、打ち込みに対する抵抗力、そしてくい耐久力の大きいことなどが買われて急速に普及している。

これらの優れた特長は、引張りに弱いコンクリートにプレストレスを導入した結果として生れたものであり、したがって、パイル断面に所要のプレストレスが導入され確保されるためには、緊張材定着の問題ならびにコンクリートのクリープに基くプレストレス減退の問題がきわめて重要である。

これらの見地から、著者らはPCパイルのカットオフテストならびにクリープテストを実施した。

## 2. PC パイルのカットオフテスト

## (1) 緒言

まくらぎや桁などのPC部材はその使用目的に応じた長さがすでに決っていて、これを途中で切るなどという必要はないが、くいの場合には地盤の高低や障害物などにより、設計長まで貫入しない場合が起ってきて、どうしても残った長さは切断しなくてはならない状態となる。そこで、プレテンション工法によるPCパイルを切断した場合、プレストレスはどのように変化するか、伝達長はどの程度か、そして鋼線定着の仕組みはどうかなどを調べるために、カットオフテストを実施した。

## (2) 材料の諸性質

今回使用したPCパイルはプレテンション方式によるもので、緊張材としては高周波熱鍛（株）製異形PC鋼棒（ウルボン）を用いた<sup>1)</sup>。同鋼棒の機械的性質は表-1のとおりである。また、コンクリート配合ならびに圧縮

表-1 ウルボンの機械的性質

直 径	9.2 mm
断面積	63.7 mm <sup>2</sup>
引張強さ	150 kg/mm <sup>2</sup>
降伏点応力	142 kg/mm <sup>2</sup>
伸び	8.5%
ヤング率	20 000 kg/mm <sup>2</sup>

表-2 コンクリートの配合

セメント (kg)	水セメント比 (%)	水 (kg)	砂 (kg)	砂利 (kg)	骨材の 最大径 (mm)	スランプ (cm)
492	38	187	611	1 350	25	5~6

表-3 コンクリートの強度、弾性係数

	プレストレス導入時 (kg/cm <sup>2</sup> )	カットオフ時 (kg/cm <sup>2</sup> )
圧縮強度	447	495
弾性係数	367 000	374 000

強度、弾性係数を表-2、3に示す。プレストレス導入はコンクリート打設の翌日、カットオフテストは1週間後実施したので、表-3の諸値はそれぞれ材令2日、7日に対するものである。カットオフテストを1週間後実施したのは、パイル表面にワイヤーストレーンゲージを貼布する都合から、コンクリート面のある程度の乾燥を持つ必要があったためである。

## (3) テンションメータの製作

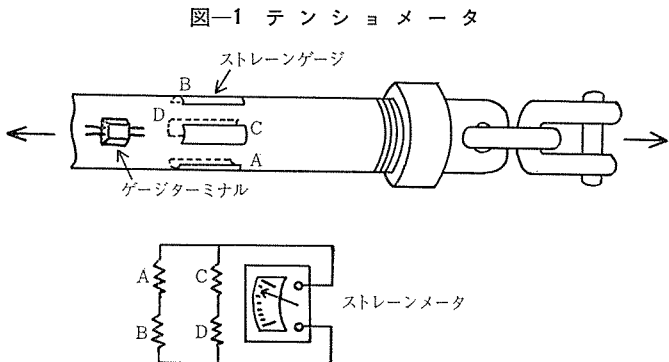
PC鋼棒緊張力の測定は、特別に製作したテンションメータを緊張ジャッキと各鋼棒の間にそう入して行なった。すなわち図-1に示すとおり、高張力鋼棒の表面に4枚のストレーンゲージを貼布し、相対するゲージすなわちAとB、CとDをそれぞれ直列接続した後それらを並列接続したもので、このようにすれば鋼棒の引張りひずみの平均値が自動的に直ちに得られる利点があり、筆者らは多年この方法を用いている<sup>2)</sup>。

テンションメータは、本テストに先立ち計12個準備し、それぞれについてキャリブレーションテストを実施

\* 工博 九州工業大学助教授 開発土木工学科

\*\* 九州工業大学大学院 修士課程

\*\*\* 日本ヒューム管KK 若松工場 製造課長



した。

#### (4) 試験方法

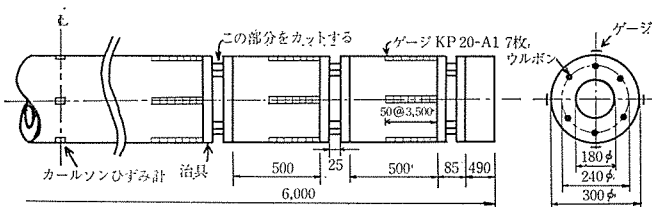
一般に、プレテンション工法PCパイルのプレストレス作業は、縦方向に配置された数本の鋼棒を一括緊張する方式で行なわれるため、各鋼棒の緊張力には多少の差異が生ずる。この場合の全緊張力は緊張ジャッキの荷重計で測定されるが、本テストに入るのに先立ち、それらを正確に調べておく必要があると考え、(3)に述べたような特製のテンショナメータを各鋼棒に連結して、初期緊張力を実測した。

実際のPCパイル施工において、不要長のカットオフは手ノミ、あるいはコンクリートブレーカーを用いるが、本実験では、図-2に示すような治具をあらかじめ供試体にセットし、サンダーによりPC鋼棒を切断して、パイル頭部をカットオフする方法を探った。この場合、特別のカットオフ方式を探ったのは、カットオフに長時間を要して測定精度が低下することを避けるためで、カットオフ時のボンド定着機構を本質的に充実するにはむしろその方が好結果を得ると判断したからである。供試体寸法、切断位置そしてゲージ貼付位置などは図-2に示すとおりで、ゲージ結線は原則として(3)で述べた平均結線法によった。パイル中央にもゲージを貼付したのは、それでインジケータの0点移動を読み、各測定値を修正せんがためである。

供試体は3本製作し、計9個のカットオフテストを行なった。

PC鋼棒の任意点（ただし伝達長以遠）の引張応力度を $\sigma_s$ とすれば、コンクリートの圧縮応力度（プレストレス） $\sigma_c$ は次式で与えられる。

図-2 切断位置およびゲージ貼付位置



$$\sigma_c = A_s \sigma_s / A_c = \gamma_c \sigma_s$$

ここに、

$$A_s : PC\text{鋼棒の断面積} (63.7 \text{ mm}^2 \times 6 \text{ 本}) \\ = 3.8 \text{ cm}^2$$

$$A_c : コンクリートの断面積 (448.3 \text{ cm}^2)$$

$$\gamma_c : 鋼棒比 (8.476 \times 10^{-3})$$

$$\sigma_s : プレストレス (79.8 \text{ kg/cm}^2)$$

さて、パイルの任意点を切断すると、その端から内部に向ってアンカーボンドが生じて、新に鋼棒の定着が達成されることになる。鋼棒端はコンクリート内にすべり込むので $\sigma_s$ は完全に失なわれて0になるが、内部に入るにしたがい $\sigma_s$ の残留量は漸増して一定値に達する。したがって、カットオフの進行にともないパイル表面にあらかじめ貼布されたストレーンゲージの読みは、引張ひずみとして現われ、端部におけるほど大きい理屈となる。この引張ひずみを $\epsilon'$ とすれば、 $\sigma_c' = \epsilon' E_c$  ( $E_c$  : コンクリートの弾性係数) が初期プレストレスの減退量を意味するから、パイル切断後のプレストレスは $(\sigma_c - \sigma_c')$ で表わされる。

#### (5) 試験結果および考察

プレストレッシング時の各鋼棒の引張力をテンショナメータで実測した結果、最大値 6.43 t、最小値 5.61 t、平均値 6.00 t であった。

表-4 は前記の方法でカットオフ時のプレストレス分  
表-4 測定データの一例（供試体 I-2）

材端から の距離 (cm) ( $\times 10^{-6}$ )	測定ひずみ (%)	応力 $\sigma_c'$ (kg/cm <sup>2</sup> )	残留プレストレス $\sigma_c - \sigma_c'$ (kg/cm <sup>2</sup> )	$\frac{\sigma_c - \sigma_c'}{\sigma_c} \times 100$ (%)
5	88 (95)	33.0 (35.5)	46.8 (44.3)	58.6 (55.5)
10	70 (76)	26.2 (28.4)	53.6 (51.4)	67.2 (64.4)
15	45 (50)	16.8 (18.7)	63.0 (61.0)	78.9 (76.6)
20	9 (20)	3.4 (7.4)	76.4 (72.4)	95.7 (90.7)
25	2 (4)	0.7 (1.5)	79.1 (78.3)	99.1 (98.1)
30	0 (2)	0 (0.7)	79.8 (79.1)	100.0 (99.1)
35	0 (0)	0 (0)	79.8 (79.8)	100.0 (100.0)
中央	0 (0)	0 (0)	79.8 (79.8)	100.0 (100.0)

注：（ ）内は切断 10 分後の値

布を測定したデータの一例である。表中（ ）内の値は切断 10 分後ものであり、切断直後の値より多少大きくなっていることがわかる。コンクリート表面のひずみ測定値は、カットオフ直後は PC 鋼棒に近い測点ほど大きいが、漸次全体的に、立体的に平均化される傾向が認められ、測定値の時間的変化は、それとインジケータの 0 点移動などに起因する

図-3

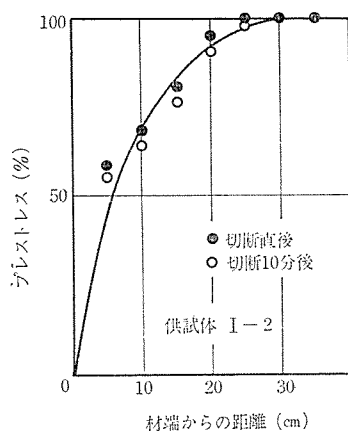


図-4

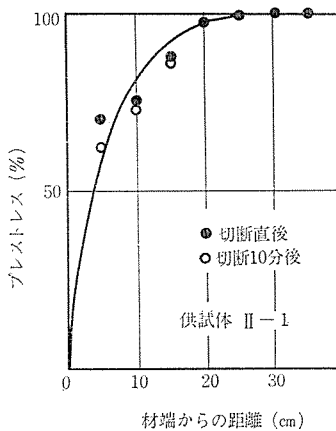
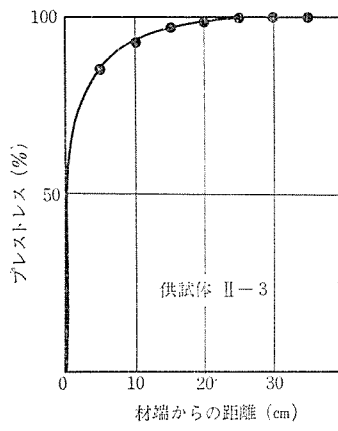


図-5



ものと解される。

表-4を図示すれば図-3になり、パイル端から有効プレストレスの95%が導入される点までの距離を伝達長( $\lambda$ )とすれば、この場合の $\lambda$ は約25cmである。第1, 第2, 第3カットオフに対し同様なる方法で求めた結果の一例を図-4, 5に示す。これらによると $\lambda$ の平均値は25~30cmで、一般の平滑PC鋼線に比べてかなり短縮されている。表面にらせん状の溝を有するウルボンのボンド性良好なることが認められる。

なお、理論的には、カットオフ部がパイル中央に近づくほど鋼棒の有効引張応力度は小さいから、伝達長が短くなる理屈となるが、このことを実測で見出すことはできなかった。

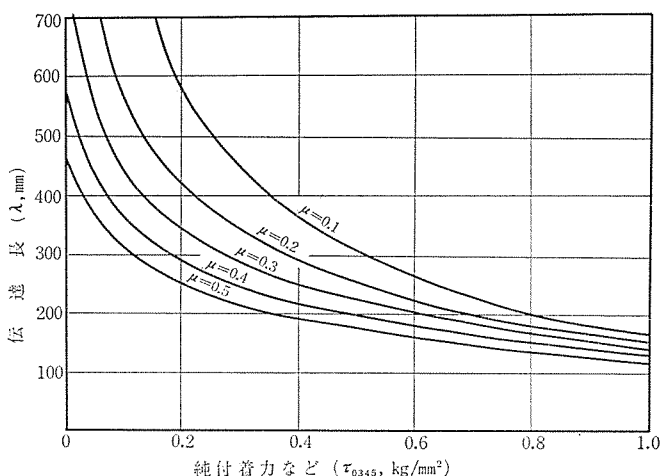
一般に、鋼線の定着に關係する付着力、つまりアンカーボンドを、筆者はつぎの5つに大別できると考えている<sup>3)</sup>。すなわち、①; PC鋼線緊張解放後の鋼線径の増加によるまさつ抵抗力 $\tau_{01}$ 、②; プレストレスにともなう横方向ひずみに基く鋼線把握力 $\tau_{02}$ 、③; PC鋼線とコンクリート間の純付着力 $\tau_{03}$ 、④; くさび形によるすべり抵抗力 $\tau_{04}$ 、⑤; 機械的すべり抵抗力 $\tau_{05}$ などである。上に示した中で①, ②, ④はプレテンション部材独特的ボンドであり、すなわち、緊張を解放された鋼線はいくぶん短縮し、したがって、断面が膨張してコンクリートを圧し( $\tau_{01}$ )、同時にくさび形を形成して定着を強化するものと考えられ( $\tau_{04}$ )、その際、まわりのコンクリートは縦方向プレストレスにともなう横方向ひずみを生ずるから、側圧はさらにその影響も受け変化し、したがって、まさつ抵抗力も変化するものと解される( $\tau_{02}$ )。 $\tau_{03}$ は鋼線とコンクリートの間に相対的すべりが生じない間存在する粘着力に基くボンドである。したがって、プレテンション部材の中央部分では自然のまま残存しているのに対し、材端に向かうにしたがって失なわれ、材端では0であると解される。これは、材端におけるほど大

きく中央に向かうほど小さい $\tau_{04}$ と全く逆の性質を示しており、したがって、取扱上は $\tau_{03}$ と $\tau_{04}$ の和は、ほぼ鋼線にそって等分布するものと考える。

$\tau_{05}$ は鋼線表面の凹凸に基くもので、異形鋼線やストランドにみられるボンドである。

図-6は、フリクションボンド( $\tau_{01}$ )に密接に關係する鋼線まさつ係数( $\mu$ )および純付着力など( $\tau_{0345}$ )を实用の範囲内で仮定して、伝達長( $\lambda$ )との関係を本実験に用いたウルボンに関して理論的に求めたものである。いま、同図によると純付着力などを0.2kg/mm<sup>2</sup>とした場合、 $\mu=0.2$ では $\lambda=43$ cmであるのに対し、 $\mu=0.4$ では $\lambda=29$ cmと大きく短縮されていることがわかり、 $\mu$ 値の影響が非常に大きいことを示している。

$\tau_{0345}$ についてながめてみると、この値が大体0.4kg/mm<sup>2</sup>以上では、 $\mu$ 値のいかんにかかわらず $\lambda$ 値への影響は非常に小さいが、 $\tau_{0345}$ 値が前記の値以下の場合には比較的大きな影響を与えており、いま、 $\mu=0.3$ としたとき、 $\tau_{0345}=0.1$ kg/mm<sup>2</sup>では $\lambda=35$ cmであるのに対し、 $\tau_{0345}=0.3$ kg/mm<sup>2</sup>では $\lambda=30$ cmに短縮されることになる。今回、ウルボンの $\mu$ 値を測定してみた結果<sup>4)</sup>

図-6  $\mu-\tau_{0345}-\lambda$  曲線

$\mu=0.4\sim0.5$  程度で、純付着力  $\tau_0$  は  $0.3 \text{ kg/mm}^2$  程度であった。したがって、図-6 によると付着長は 22~25 cm 位となる。

### 3. PC パイルのクリープテスト

#### (1) 緒 言

コンクリートは定温定湿の下で荷重を持続的に加えておくと、日時の経過にともない変形が増大する。この現象はクリープと呼ばれ一般にゲル中の水の放出吸収が主因であると説明され、さらに膠質物質の粘性流動や結晶構造の塑性変形等も原因の一部をなしていると解されている。

さて、プレストレスト コンクリートでは、導入されたプレストレスはコンクリートのクリープと硬化収縮によって次第に減少する。このクリープだけを硬化収縮と切離して測定することはできないので、プレストレスを導入した供試体（載荷供試体）とそれと同一条件でプレストレスを導入しない供試体（無載荷供試体）とを作り、プレストレスを導入した供試体の変形からプレストレスを導入しない供試体の変形を差し引いてこの差をクリープと考える。

コンクリートのクリープ、硬化収縮はその養生条件、載荷中の温度、湿度などにも影響されるが、本テストにおいては、パイル表面にストレーンゲージを貼布した都合から、一般的のパイル製造過程すなわち、コンクリート打設—蒸気養生—脱型—水中養生（4 日~7 日）—自然放置の過程から、水中養生の項目を削除し、屋内自然放置の状態で長期クリープ計測を実施した。

#### (2) 試験方法

供試体は、前章カットオフテストに用いたものを併用する。載荷供試体、無載荷供試体ともその中央断面にカールソン型鉄筋計を 4 個セットした。なお、鉄筋計には、パイル製造中、遠心力が加わってもその位置、方向などが狂わないように、その両側にウルボン鋼棒を連結し、その数カ所をスパイラル筋に緊着せしめた。

インジケータには土木測器センター（株）製 M-4 S 型を使用した。

#### (3) 試験結果および考察

図-7 は、プレストレスを導入していない、無載荷供試体の乾燥収縮による鉄筋計応力減退量（カッコ内はひずみ）の時間的推移を示したものの一例である。また、図-8 は、プレストレスを導入した、すなわち載荷供試体の鉄筋計応力総減退量または総減退ひずみの推移を測定した結果の一例である。

恒温恒湿下の測定ではないから、全体的に測定がばらついており、70 日近傍からはそれが特にいちじるしい

のは、当時の不順な天候の変化を敏感に反映したものと考えられる。

以上に掲げた乾燥収縮による減退量曲線および総減退量曲線のそれぞれの平均曲線や、後者より前者を差し引いた、つまりクリープによる減退量曲線などを示せば図-9 のとおりである。この実測結果から終局クリープ係数  $\varphi_n$  を求めると、 $\varphi_n=1.4$  となって、PC 設計施工指

図-7 乾燥収縮による減退量曲線

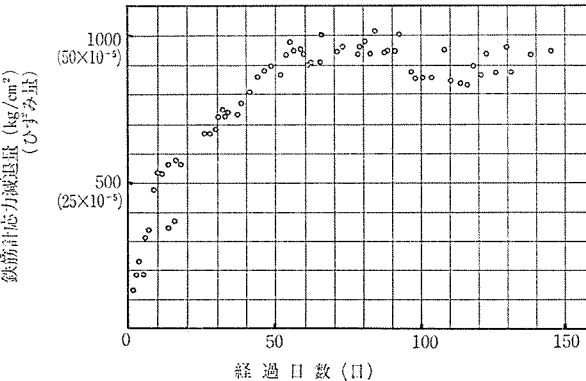


図-8 総減退量曲線

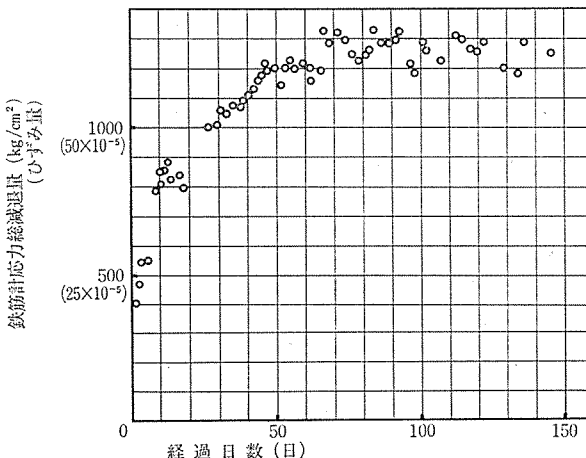
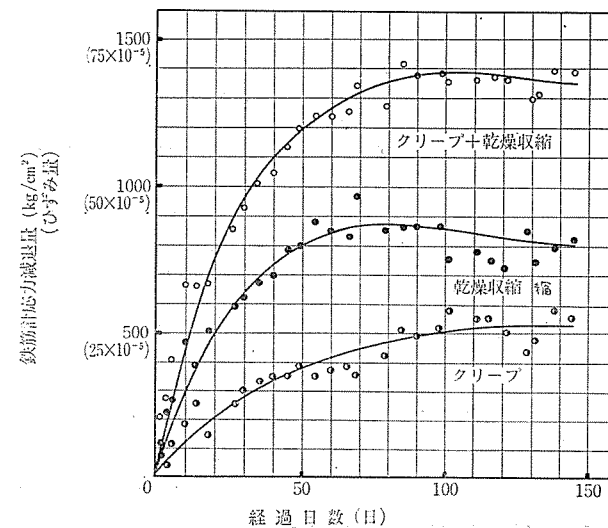


図-9 クリープによる減退量曲線（平均）



## 報 告

針が与えている値より小さい。本供試体に用いたコンクリートは、水セメント比が非常に小さい ( $W/C=38\%$ ) 上に、遠心力により、さらに水分が排除された結果として、クリープが低くあらわれたかと思われるが、また他方、乾燥収縮量が意外に大きかったためでもある。一般に、コンクリートは硬化の初期に十分なる湿気養生を行なえば、水和作用が促進されて、乾燥収縮量は小さいといわれているのに、本実験に用いた供試体は(1)でも述べたとおり、水中養生の過程を削除したためにこのような比較的大きな乾燥収縮があらわれたとも推察される。

### 4. あとがき

以上の基礎的実験結果から、径 9.2 mm ウルボンを用いた場合の伝達長は 25~30 cm であること、終局クリープ係数は 1.4 であることなどがわかった。今後ともプレテンション方式 PC 部材の場合、鋼線定着の強化、伝

達長短縮への要望は必須のものであろうが、特に PC パイルにおいては、打込時に頭部が引張破断した例もあるようだ、いっそその必要が痛感される。また、衝撃、疲労などによるボンド低下の問題も今後の興味ある課題かと考えている。

本実験の結果では、コンクリートの乾燥収縮、クリープによるプレストレス損失は約 15% であった。

### 参 考 文 献

- 1) 藤田 真、水馬克久：新しい PC 鋼材ウルボンについて、材料と設計、Vol. 12 No. 10
- 2) 水野高明、渡辺 明：コンクリート弾性係数測定の一方法と考察、セメント技術年報、昭和 40 年
- 3) 渡辺 明：ボンド定着 プレテンション部材の鋼線定着に関する実験的研究、土木学会論文集、第 125 号
- 4) 渡辺 明：ボンド定着 プレテンション工法における鋼線のまさつ係数およびその測定法に関する研究、土木学会論文集、第 135 号

1968.2.5・受付

### 会員増加についてお願い

会員の数はその協会活動に反映するもので、増加すればそれだけ多くの便益が保証されています。現在の会員数は創立当時に比較すると約 4 倍の 1400 名ですが、まだまだ開拓すべき分野が残されています。お知合いの方を一人でも余計ご紹介下さい。事務局へお申し出て下されば 入会申込書 はすぐお送りいたします。

**スパイラルレース**  
昭40-22729 ® (特許公告 昭40.10.7)

神奈川県工業試験所で  
製品の優秀性 実証



PC器材専門製造

**鋼弦器材株式会社**

取締役社長 平野勝之助

本社 横浜市西区中央2丁目42番6号  
電話 横浜(44) { 5781・5782  
          { 2264・7239

製造工場 (合) 平野機械製作所

関西支社 大阪鋼弦器材株式会社



**鋼弦コンクリート**

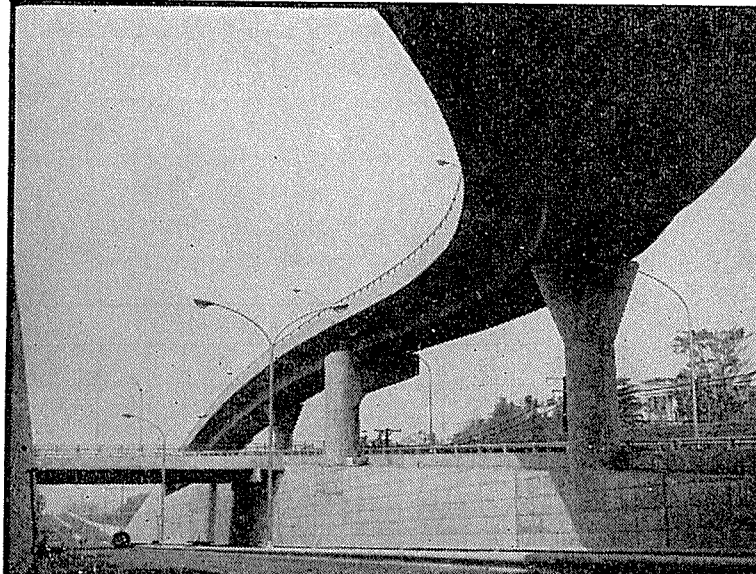
設  
施  
製  
計  
工  
造



## 九州鋼弦コンクリート株式会社

代表者 取締役社長 山崎鉄秋

本社	福岡市天神2丁目12番1号(天神ビル)	TEL 大代表(75)6031
大阪事務所	大阪市北区芝田町97(新梅田ビル)	TEL 代表(372)0384
東京営業所	東京都港区新橋4丁目24番8号(第2東洋海事ビル)	TEL (431)64447
大分出張所	大分市府内町2の3(吉良ビル)	TEL (2)98850
宮崎営業所	宮崎市二葉町1	TEL 52200
福岡山家工場	福岡県筑紫郡筑紫野町山家	TEL (二日市)2733~5
大阪大東工場	大阪府大東市大字新田	TEL 大東(72)1010
工場	夜須・甘木・大村	



### BBRV、MDC、フレシネー、マニエル工法による プレストレスト・コンクリート

- 構造物の設計・施工
- 製品の製造・販売  
(ケタ、ハリ、矢板、床板、屋根版他)
- コンクリートポール・パイプ・ブロック

首都高速道路公団 421工区高架橋  
橋長 203.77m 幅 6.0~8.7m  
型式 BBRV方式 ポストテンショニング  
連続箱桁及単純桁橋



## 北海道ピー・エス・コンクリート株式会社

本社・東京営業所	東京都豊島区巣鴨6丁目1344番地(大塚ビル)	東京(918)6171(代)
札幌営業所	札幌市北三条西4丁目(第一生命ビル)	札幌(24)5121
仙台事務所	仙台市元寺小路172番地(日本オフィスビル)	仙台(25)5381
静岡事務所	静岡県静岡市泉町7の44(マルエムビル)	静岡(85)6618
名古屋事務所	名古屋市中区栄町4丁目1番地(栄町ビル)	名古屋(961)8780
大阪事務所	大阪市北区万才町43番地(浪速ビル東館)	大阪(361)0995~6
福岡事務所	福岡市大名1丁目9番21号	福岡(75)3646
別工場	北海道幌別郡登別町字千歳	幌別2221
掛川工場	静岡県掛川市富部	掛川(2)7171(代)